

scr k-y

~~KY₃Cl₁₀~~

~~K₃YCl₆~~

~~Tm~~

Log 357-X

1964

Fusion diagrams for the systems $\text{YCl}_3\text{-NaCl}$ and $\text{YCl}_3\text{-KCl}$.
B. G. Korshunov and D. V. Drobot (M. V. Lomonosov Inst. Precise Chem. Technol., Moscow). *Zh. Neorgan. Khim.* 9(1), 222-3(1964). Fusion diagrams were detd. for the systems $\text{YCl}_3\text{-NaCl}$ and $\text{YCl}_3\text{-KCl}$. In the 1st system 1 chem. compd. formed, Na_3YCl_5 , white, m. 550° , forming eutectic with YCl_3 , contg. 45% NaCl, m. 360° . The components in the KCl system form 2 compds., $\text{KY}_3\text{Cl}_{10}$, white, m. 535° , and K_3YCl_6 , white, m. 830° . This system has 2 eutectic points, one at 430° formed by the 2 chem. compds. and contg. 50 mole % KCl and one at 675° formed by K_3YCl_6 with 87 mole % KCl. The compd. K_3YCl_6 has a clearly expressed polymorphic transition at 340° .

GLJR

C.A. 1964. 60.8

8883d



+1



YCl₃
NaCl
KCl
T_m

13792 MELTING DIAGRAMS FOR YCl₃-NaCl AND
YCl₃-KCl SYSTEMS. B. G. Korshunov and D. V. Drobob
(Moscow Inst. of Fine Chemical Tech.). Zh. Neorgan.
Khim., 9: 222-3 (Jan. 1964). (In Russian)

Phase diagrams were constructed for YCl₃-NaCl and YCl₃-KCl systems. The melting points of yttrium, sodium, and potassium were 700, 800, and 774°, respectively. A thermal analysis revealed a white chemical compound Na₃YCl₆ with a melting point of 550°. The Na₃YCl₆ formed a eutectic with yttrium chloride containing 45 mole % NaCl and melting at 360°. A thermal analysis of the YCl₃-KCl system revealed two chemical compounds: white colored KY₃Cl₁₀ and K₃YCl₆ melting congruently at 535 and 830°, respectively. The eutectic formed by KY₃Cl₁₀ and K₃YCl₆ contained 50 mole % KCl and melted at 430°, and the eutectic of K₃YCl₆ with KCl contained 87 mole % KCl and melted at 675°C. (R.V.J.)

1964

BP-337-X

NSR-1964-18-9

3491-X-BEP

1964.

K₃YCl₆, Na₃YCl₆, KCl · 3 YCl₃

FeYCl₅ (T_{tr}) (T_{in})

Морозов И.С., Мебисова З.Н.,
ирина Георгиевна,
29

№. Несправн. химии, 1964, 9, 2606-2612

Б

если ошиб

X-6233

19/05

K₃YCl₆, K₃DyCl₆, K₃ErCl₆ u. g.

(Tm)

Дробот Д.В., Коршунов Б.Г., Шевчова З.И.,
Cs. Физ. химии расщепленных солей,
М, Изд-во "Металлургия", 1965, 48-54

б



если оно

X-6189

1966

K₃YF₃ (Tm)

Бухаева Г.А., Бадаева Е.П.,
№. неоргак. химии, 1966, 11, 644-647

Б

$3\text{LiCl}\cdot\text{YCl}_3$ (T_{t_2}) X 4481/1966

$3\text{NaCl}\cdot\text{YCl}_3$; $\cancel{3\text{KCl}\cdot\text{YCl}_3}$, $\text{KCl}\cdot 2\text{YCl}_3$;

$3\text{RbCl}\cdot\text{YCl}_3$; $\text{RbCl}\cdot 2\text{YCl}_3$ (T_m , T_{t_2});

$3\text{CsCl}\cdot\text{YCl}_3$ (T_{t_2})

Mien-Tseung Su, Ping-J. Ch'in

K'o Hsueh Tung Pao; 1966, 17(2),

72-74

5

(P)

errb q.K

d-K₃YF₆

BP-6181-X

1967

1 Б588. Взаимодействие фторобериллата и фтороиттата калия. Борзенкова М. П., Новоседова А. В. «Изв. АН СССР. Неорган. материалы», 1967, 3, № 5, 896—899

Методами термографического, визуально-полтермического и рентгенофазного анализов изучена система K_2BeF_4 — K_3YF_6 . Показано, что система является квазибинарным разрезом тройной системы из фторидов K, Be и Y. Между K_2BeF_4 и K_3YF_6 обнаружена эвтектика при 23 мол. % K_3YF_6 и $715 \pm 5^\circ$. Фтороиттат калия плавится при $960 \pm 5^\circ$. При $320 \pm 5^\circ$ имеется обратимое полиморфное превращение $\alpha\text{-}K_3YF_6 \rightleftharpoons \beta K_3YF_6$. Проведено индицирование низкотемпературной модификации K_3YF_6 . Уточнены параметры ее тетрагональной ячейки ($a = 6,40 \pm 0,005 \text{ } kX$; $c = 9,10 \pm 0,05 \text{ } kX$). Автореферат

T_m ,
 T_{tr}

X · 1968 · 1

$KPr(MoO_4)_2$; $KNd(MoO_4)_2$, X 4538
 $KY(MoO_4)_2$; $KEr(MoO_4)_2$. 1968
(Tm, Ttr)

Дашуев В.К., Кумрикович
Я.К., Транкина З.А.,
Изв. АН СССР, Несорганс. матерн
аки, 1968, № 7, 1201-203

5

©P

CA 1968

1969

3KF.YF₃T_mT_{de}

C.A.

74710u Phase diagram for the potassium fluoride-yttrium fluoride system. Porter, Bernard; Meaker, R. E.; Bremner, P. R. (Met. Res. Center, Bur. of Mines, Reno, Nev.). U.S. At. Energy Comm. 1969, BM-RI-7246, 11 pp. (Eng). From Sci. Tech. Aerosp. Rep. 1969, 7(9), 1472-3. D.T.A. measurements were used to characterize a phase diagram for the KF-YF₃ system at compns. \leq 60 mole % YF₃. A congruent m.p. compd. was observed at 3KF.YF₃ and $965 \pm 5^\circ$; it undergoes solid-state decompn. at $725 \pm 2^\circ$. One peritectic and 2 eutectic compns. are also defined.

TCSL

1969. H. 16

1969

3KF·YF

3

T_m

(64755y) Phase diagram for the potassium fluoride- yttrium fluoride system. Porter, Bernard; Meaker, R. E.; Bremner, P. K. (Reno Met. Res. Center, Bur. of Mines, Reno, Nev.). U.S. At. Energy Comm. 1969, BM-RI-7246, 8 pp. (Eng). From Nucl. Sci. Abstr. 1969, 23(10), 17390. D.T.A. measurements were used to characterize a phase diagram for the KF-YF₃ system at compns. between 0 and 60 mole % YF₃. A congruent m.p. compd. was observed at 3KF.YF₃, which m. 965 ± 5° and undergoes solid-state decompn. at 725 ± 2°. One peritectic and 2 eutectic compns. are also defined.

TCNG

C. A. 1969. 71. 14

KY(MoO₄)₂

1969

(T_{tr})

(92068c) High-temperature radiographic electrophysical study of the phase transition in binary potassium yttrium molybdate.

Vinokurov, V. A.; Klevtsov, P. V. (USSR). *Mekh. Kinet. Krist.* 1969, 55-9 (Russ). From *Ref. Zh., Fiz., E.* 1970, Abstr.

No. 4E513. The binary K Y molybdate KY(MoO₄)₂, obtained from a soln. in K bimolybdate melt was studied by high-temp. radiography, and unit-cell parameters were detd. at 20-900°. Changes in the behavior of the temp. dependence of unit-cell parameters presumably assocd. with structural changes in the K Y molybdate lattice were obsd. in the region of 560°. The temp. dependence of elec. cond. and dielec. values (dielec. const. and dielec. loss) was detd. in the same region. The activation energy of cond. was detd. Anomalies of electrophys. values correlating with radiographic measurement and DTA data were obsd. in the region of 560°. The anomalies in the temp. behavior of unit-cell parameters and electrophys. values are assumed to be assocd. with the structural phase transition.

C.A. 1971. 45: 14

Б5-Дн! Моду) 4 (Тм) · 10 1970
Дн - синтезированный
Биокосоев Н. В., Гемильян Е. И.,
Анжисев Ф. Г., Лобода С. Н.,
Члв. Акад. Наук СССР, Инспр. Канцер;
1970, 6, №10, 1857-60 (русск.)

Двойное [каций - цинканид] монодатное соединение Б5-Дн (Моду),

БТР

СА, 1971, 44, №6, 27587м

NdCl₃-YCl₃-KCl (вапор.) 122858 1970

NdCl₃-YCl₃-NaCl (газопр.) 9 10

NdCl₃-BaCl₂ (газопр.) Нрок - Тесе

алюминий и.с., Ричард Годфри Тесе.

Исслед. канд., 1970, 15, № 6, 1667
- 73 (прим.)

Введение. Структуры различных
версий системы NdCl₃-YCl₃-
AlCl₃ на базе реагента с кис-
лородом.

Б. Бор

1970, № 10, 19793м

X-4707

1970

KY(MoD₄)₂ "gg." (Tm_{ice})

Савицева М.В., Махно Н.В.

Чесноков В.Е., Антонова С.С.,

М. неорганс. химии, 1970, 15, №3, 835-

839



5

3KF-YF₃

1871

KF-YF₃

KF·2YF₃

KF·3YF₃

(T_m)

| 12 Б831. Исследование взаимодействия фторидов калия и иттрия. Борзенкова М. П., Кузнецова Г. Н., Новоселова А. В. «Изв. АН СССР. Неорганические материалы», 1971, 7, № 2, 242—247

Изучена система KF—YF₃ методами термич., визуально-политермич. и рентгенофазового анализов. Показано наличие в системе соединений: 3KF-YF₃, KF-YF₃, KF·2YF₃, KF·3YF₃ и соединения приблизительного состава KF·7YF₃. Проведено рентгенографич. исследование соединений KF·YF₃, KF·2YF₃, KF·3YF₃ и KF·7YF₃. Из расплавов в области 62—90 мол.% YF₃ путем закаливания получена метастабильная фаза переменного состава с решеткой типа флюорита.

Автореферат

X · 1871 · 12

KY(AlO₄)₂ Polyd Sp. udk. 1971

$$\pi_m =$$

$$= -972^{\circ} \pm 10^{\circ}$$

$$+ 273$$

$$1245 K$$

4485-4474

4485-4474

Bp -

Синтезировано

"М.Б. Борис. Чеди. забе-
гущий. Кристал и хруст.
мечниковский.", 1971,

14, №3, 328-331

(Cei. K-Sc)!

KYCl₄

1971

91318t Electron-diffraction study of the structure of the KYCl₄ molecule. Stiridonov, V. P.; Brezgin, Yu. A.; Shakhparkonov, M. I. (Mosk. Gos. Univ. im. Lomonosova, Moscow, USSR). *Zh. Strukt. Khim.* 1971, 12(6), 1080-1 (Russ). For KYCl₄ mols., good agreement is reported between theoretical and exptl. intensity values by assuming a mol. model with the tetrahedral fragment YCl₄ and with the K atom located on a perpendicular to one of the tetrahedral edges passing through the Y atom. The structural parameters are: Y-Cl = 2.54 ± 0.01 Å; K-Cl = 2.85 ± 0.02 Å. Similar results obtained for NaAlF₄ (V.P.S., et al., 1969) and KAICl₄ (V.P.S., et al., 1971) allow a generalization, that complex mols. of the M¹MX₄ type, where M¹ is an alkali metal ion and M a Group III ion, have analogous structures.

M. Soucek

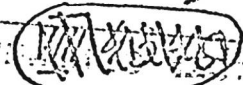
C.A. 1972. 76.16

18

$\text{Pr}(\text{VO}_3)_3 \cdot \text{KVO}_3$; $\text{Nd}(\text{VO}_3)_3 \cdot \text{KVO}_3$, 11971

$\text{Er}(\text{VO}_3)_3 \cdot \text{KVO}_3$; $\text{Y}(\text{VO}_3)_3 \cdot \text{KVO}_3$ ($T_{m, k}$) ~~K-5302~~

Вальдес В.К., Курбасова З.К.

Гранкина З.Д., 

Узб. НИССР. Некроп. института, 1971

З. № 532-536

Немногие добывные ванадаты редкоземельные материалы распределены КНОЗ

РИУмнз, 1971

1981

(К5302)

Б@ 10

M₂Ln(MoO₄)₂ (T_{m,inc}, T_f,) 1972

M₃Ln(MoO₄)₇ (T_{m,inc},) № 7757

(M=Li, Na, K, Rb, Cs) (Ln = РЗЭ и тирасовыи подгруппы)

Плющев В.Е., Шахно И.В., Савчук
С.В., М.В., Абзакиева Е.Н., Бодкова М.В.
Кузина Т.И. В сб. „Химия и хим. технология,
М., 1972, 353-355. Об условиях образования и
некоторых свойствах двойных соединений с
редкоземельными элементами тирасовыи подгруппы
и их физические свойства 10±0.25

РДНХЧИ, 1973

○ 25 5 Ⓜ

18B16

X - 8099

1973

κ La Cl₄; K₂ Cl₂; κ YCl₄ (P, термод сб)

Баровский В.В., Новиков Г.И.,

Гамрикев Н.Б.

ж. физ. хим., 1973, 47, № 8; 2150 (русск.).

CA, 1973, 79, N 24, 140148h

5, II ④

1973

20 Б579 Деп. Давление и состав насыщенного пара
 $\text{LnCl}_3 - \text{Ln}_2\text{O}_3 - \text{KCl}$. Бадовский В. В., Новиков Г. И., Патрикеев Ю. Б. (Редколлегия «Ж. физ. химии» АН СССР). М., 1973. 14 с., ил., библиогр. 13 назв. (Рукопись деп. в ВИНИТИ 14 мая 1973 г., № 6039—73 Деп.).

Методом «точек кипения» и анализа конденсатов в интервале т-р 1100—1250° измерено общее давл. и определен брутто-состав пара в квазидвойной системе $(\text{LnCl}_3 - \text{Ln}_2\text{O}_3) - \text{KCl}$ (где Ln=Y, La) с начальным содержанием 10 мол.% Ln_2O_3 в смеси $\text{LnCl}_3 - \text{Ln}_2\text{O}_3$. Табулированы коэф. ур-ния $\lg P = A/T - B$ для всех исследованных составов. Показано, что в возгонах отсутствуют кислородные соединения. По анализу зависимости изотерм брутто-парциальных давл. компонентов от состава расплава и по имеющимся лит. данным принято, что в паровой фазе присутствуют компоненты KCl , K_2Cl_2 , LnCl_3 , KLnCl_4 . По зависимости $\lg K_p = f(1/T)$ найдены термодинамич. характеристики ΔH_{T^0} и ΔS_{T^0} процесса диссоциации KYCl_4 и KLaCl_4 в паровой фазе, равные соотв. 64,3 и 35,2 и 62,0 ккал/моль и 32 э. е.

Автореферат

X. 1973
N 20

(+) X

KYF_v

1973.

Hebecker Ch.

naturw.

"Naturwissenschaften"

Greiner

1973, 60, N 11, 518-19

(naturw.)

(cau. KTEF_v; -)

1973

 KY_3F_{10}

(Fm)

85: 39596d Structural studies in the system potassium fluoride-yttrium trifluoride. Pierce, J. W.; Hong, H. Y. P. (Lincoln Lab., Massachusetts Inst. Technol., Lexington, Mass.). *Proc. Rare Earth Res. Conf., 10th 1973*, 1(CONF=730402-P1), 527-37 (Eng). Edited by Kevane, Clement J.; Moeller, Therald. NTIS: Springfield, Va. A phase diagram of the KF-YF₃ system is given and the crystal structure of KY₃F₁₀ is described. The potential of this compd. as a host in an up-conversion phosphor system is described. The crystals are cubic, space group *Fm3m*, with $a = 11.542 \pm 0.004$ Å; $d_{\text{exptl.}} = 4.312$ and $d_{\text{calcd.}} = 4.315$ for $Z = 8$. The structure was solved by Patterson and Fourier methods and refined by least-squares calens. to an R of 10.8 and an R_w of 6.0%. The crystal is an excellent host for an up-conversion phosphor system. The output of $KY_{2.40}Yb_{0.54}Er_{0.06}F_{10}$ is dominated by the $4S_{3/2} \rightarrow 4I_{15/2}$ Er³⁺ transition with efficiency comparable to NaYF₄:Yb,Er. Since KY₃F₁₀ melts congruently large crystals can be obtained.

C.A. 1976 85 n 6

$\text{Li}_3\text{Gd}_2(\text{MoO}_4)_7$, $\text{Li}_3\text{Dy}_2(\text{MoO}_4)_7$, $\text{Li}_3\text{Ho}_2(\text{MoO}_4)_7$ IP 1973
 $\text{Li}_3\text{Er}_2(\text{MoO}_4)_7$, $\text{Li}_3\text{Y}_2(\text{MoO}_4)_7$; $\text{Na}_3\text{Gd}_2(\text{MoO}_4)_7$, $\text{Na}_3\text{Dy}_2(\text{MoO}_4)_7$,
 $\text{Na}_3\text{Ho}_2(\text{MoO}_4)_7$, $\text{Na}_3\text{Er}_2(\text{MoO}_4)_7$; $\text{Na}_3\text{Y}_2(\text{MoO}_4)_7$, $\text{K}_3\text{Gd}_2(\text{MoO}_4)_7$,
 $\text{K}_3\text{Dy}_2(\text{MoO}_4)_7$, $\text{K}_3\text{Ho}_2(\text{MoO}_4)_7$, $\text{K}_3\text{Er}_2(\text{MoO}_4)_7$, $\text{K}_3\text{Y}_2(\text{MoO}_4)_7$.
 $\text{Li}_3\text{Gd}(\text{MoO}_4)_2$; $\text{Li}_3\text{Dy}(\text{MoO}_4)_2$; $\text{Li}_3\text{Ho}(\text{MoO}_4)_2$; $\text{Li}_3\text{Er}(\text{MoO}_4)_2$; $\text{Li}_3\text{Y}(\text{MoO}_4)_2$.
 $\text{Na}_3\text{Gd}(\text{MoO}_4)_2$; $\text{Na}_3\text{Dy}(\text{MoO}_4)_2$; $\text{Na}_3\text{Ho}(\text{MoO}_4)_2$; $\text{Na}_3\text{Er}(\text{MoO}_4)_2$; $\text{Na}_3\text{Y}(\text{MoO}_4)_2$.
 $\text{K}_3\text{Gd}(\text{MoO}_4)_2$; $\text{K}_3\text{Dy}(\text{MoO}_4)_2$; $\text{K}_3\text{Ho}(\text{MoO}_4)_2$; $\text{K}_3\text{Er}(\text{MoO}_4)_2$; $\text{K}_3\text{Y}(\text{MoO}_4)_2$ (Tm, Tt_1)

Сағибевба Ш.В., Шахно И.В., Плющев В.Е. № 7506
В сб. „Хим. свойства соедин. радиоземлер”
изд. Наукг, 1973, 32-34. Об условиях образования
свойственных изоморфизмов и радио-
активных изотопов в некоторых изоморфных и радио-
активных земельных элементах
РНЖИ № 1973
115807

Б

9

СРНЖИ

KY(WO₄)₂

1974.

✉ № Е664. Полиморфизм KY(WO₄)₂ и изоструктурных калий — редкоземельных вольфраматов. Клевцов П. В., Козеева Л. П., Харченко Л. Ю., Павлюк А. А. «Кристаллография», 1974, 19, № 3, 552—559

Исследование полиморфизма двойных вольфраматов KLn(WO₄)₂ (Ln=Y или РЗЭ от Sm до Lu) выполнено методами рентгенофазового анализа, ДТА и др. на образцах, закаленных от т-р как ниже, так и выше точки плавления. Показано, что каждое соединение может кристаллизоваться не менее, чем в трех кристаллич. модификациях.

номинал
фигур.

Автореферат

φ. 1974 № 9



(+2) □

$K_3R(PO_4)_2$, (T_{el}) № 8578 1974
 $(R=Sc, Y, Tb-Lu)$

Калчук В.Б., Небенчиков Г.Г.
Ефремов В.Я., Козынгарова З.Н.
Редколлегия журн. „Вестн. Моск. ун-та. Хим.“:
окт., 1974. № 6. Рукопись деп. в ВИНИТИ
29 июля 1974, № 2074-74 Деп. 1 двойные
фосфаты скандия и тербия с имприводом
подгруппы скандия.

РНХХ, 1974

22B16

8 ММБ (9) 10

YCl_3 (T_m), $\text{YCl}_3 \cdot 3\text{KCl}$ (T_{f2}) 8552 1974

Mochinaga ~~J. Ueda~~, Izisawa ~~Kyozan~~,
Bull. Chem. Soc. Jap., 1974, 47, N2, 364-367 (and)
Phase diagrams of YCl_3 -KCl, YCl_3 -NaCl,
and YCl_3 -KCl-NaCl systems, and densities
of their molten mixtures

РНХ 1974, 1974

185890

Есть оригинал

Б (Р)

Всп-8765-х 1974

KCl - YCl₃

KCl · 3YCl₃

(Tm)

ЗБ932. Диаграмма плавкости системы KCl—YCl₃—BeCl₂. Ничков И. Ф., Томашов В. А., Мордовин А. Е. «Изв. высш. учеб. заведений. Химия и хим. технол.», 1974, 17, № 9, 1415—1417.

Методом ДТА изучены двойные системы KCl (I) — YCl₃ (II) и II — BeCl₂ (III) и тройная система I — II —

2. 1975. №3

III. В системе I-II имеются конгруэнтное соединение $3\text{KCl}\cdot\text{YCl}_3$ с т. пл. 749° и инконгруэнтно плавящееся при т-ре 550° , соединение $\text{KCl}\cdot3\text{YCl}_3$. Система II-III эвтектич. типа (т-ра эвтектики 310° , 95 мол.% II). Поверхность ликвидуса системы I-II-III состоит из 7 полей кристаллизации исходных компонентов и двойных соединений: $\text{KCl}\cdot2\text{BeCl}_2$, $2\text{KCl}\cdot\text{BeCl}_2$, $3\text{KCl}\cdot\text{YCl}_3$, $\text{KCl}\cdot3\text{YCl}_3$. Параметры нонвариантных точек в тройной системе (мол.%, $^\circ\text{C}$): E_1 : I — 72, II — 12, III — 16; 470; E_2 : I — 46, II — 43, III — 11, 340; E_3 : I — 37, II — 25, III — 28, 245; E_4 : I — 24, II — 14, III — 62, 295; P : I — 44, II — 40, III — 16, 415).

И. М. Карапаева

$3\text{KCl}\cdot\text{YCl}_3$ (Tm). № 8593

1974.

Нурков И.Ф., Толкачев В.А.,
Мордовкин А.Е.,

Ж. неорг. химии, 1974, 19(3),
823-7.

Плавкость и зонкристаллизация
системы $\text{KCl}-\text{YCl}_3$

Б (cp)

C.A. 1974. 81. N 4. 17320 Z.

K₃YF₆, K₃LnF₆ (T_{tr}) 1974
Ln = Sm - Lu. 8766

Решетникова Н.Н., Майсуратов Н.Б.,
Ермеков В.А., Новоселова Е.И.

Ж. Неогран. химии, 1974 (5) 19,
1186-91

Изучение полиморфизма и
гвоздистых форм в составе K₃LnF₆

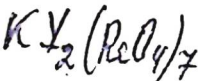
Б(9) 6
...показано

С. А. 1974. 81 № 20. 1278182

1976



9 Б662. Изучение взаимодействия перренатов калия и иттрия. Изотова А. В., Амосов В. М., Бахарева Е. Д., Варфоломеев М. Б. «Ж. неорганической химии», 1976, 21, № 12, 3226—3229



Методами ДТА и рентгенофазового анализа изучена система KReO_4 (I) — $\text{Y}(\text{ReO}_4)_3$ (II) и на основании полученных данных построена ее фазовая диаграмма. В системе обнаружено образование соединения $\text{KY}(\text{ReO}_4)_4$ (III), плавящегося инконгруэнтно при 500° , и соединения $\text{KY}_2(\text{ReO}_4)_7$ (IV), плавящегося конгруэнтно при 735° . Ниже т-ры 450° IV распадается на II и III. Состав и т-ра эвтектики между II и IV: 70 мол. % II, 725° ; эвтектики между III и I — 25 мол. % II, 435° . Мелкокристаллические III и IV слабо растворимы в воде и спирте, при хранении на воздухе поглощают воду. В ИК-спектрах III и IV обнаружена полоса в области 900 см^{-1} , что указывает на присутствие в III и IV тетраэдрических группировок ReO_4 . Восстановление водородом III и IV протекает в одну стадию при т-ре $400—530^\circ$, давая Re , K_2O и Y_2O_3 .

С. С. Бердоносов

 T_{tr}, T_m

2. 1977 № 9

YCl₃-KCl.

1976

86: 22407r Molten rare earth chlorides and their mixtures.
Mochinaga, Junichi; Igarashi, Kazuo; Ueda, Shiro. (Fac. Eng.,
Chiba Univ., Chiba, Japan). *Asahi Garasu Kogyo Gijutsu
Shorikai Kenkyu Hokoku* 1975 (Pub. 1976). 27, 135-47
(Japan). The optimum conditions of chlorinations were detd. for
the preps. of YCl₃, NdCl₃, PrCl₃, and DyCl₃ by heating the
mixts. of the resp. oxide and NH₄Cl. The ds. of their chloride
melts and their binary mixt. melts with alkali metal chlorides
were measured, and represented by the empirical equations as
functions of temp. The phase diagrams of YCl₃-KCl and
YCl₃-NaCl systems were measured. The elec. cond. of quasi-binary
molten LaCl₃-CaCl₂-NaCl system agreed with the values calcd.
from the elec. cond. of the single melts. H. Matsumoto

*pazobas
guarip.*

C.A. 1977 86N4

X K_3YF_6 ; K_3SmF_6 . $B\bar{X}-93$ 1976.
abc.

Richter P.W., Pistorius C.W.F.T.

High-Temp. - High Pressures, 1976, 2, v1,
53-58.

Phase diagrams of K_3YF_6 and K_3SmF_6
to 35 kbar and $900^{\circ}C$.

PX, 1977, 75819.

AC, B, T

Он 36674 1979

з Б749. Термодинамические свойства двойных калиевых молибдатов РЗМ в интервале 5—310 К и аномалии в теплоемкости. Пауков И. Е., Фролова Г. И. «8-я Всес. конф. по калориметрии и хим. термодинам., Иваново, 1979. Тез. докл. II—ПКТБМ», Иваново, 1979, 376—379

С помощью вакуумного адабатич. калориметра в интервале 5—310 К измерены теплоемкости (C_p) монокристаллов $KLn(MoO_4)_2$ для $Ln=Y$ (I), Dy (II), Eg (III) и Lu (IV). Станд. энтропия S_{298}^0 и энталпия $H_{298}^0 - H_0^0$ равны для I 276,6 Дж/моль·К и 42300 Дж/моль, II 298,1 и 43700, III 293,6 и 43980, IV 279,2 и 42330. Отмечена близость C_p I и IV во всем т-ром интервале, что объяснено одинакостью структуры и близостью параметров решеток. Разность C_p (II или III) — C_p (IV) связана с аномалией Шоттки, обусловленной расщеплением основного тер-

$KY(MoO_4)_2$
 $KDy(MoO_4)_2$
 $KEr(MoO_4)_2$
 $KLu(MoO_4)_2$

S_{298}^0 , $H_{298}^0 - H_0^0$
 C_p , T_{ex}

2. 1980 г.

ма ионов Dy^{3+} и Er^{3+} в поле лигандов. Вычислены энергии возбужденных уровней ионов, равные 13, 40 и 90 см^{-1} для Er^{3+} 19, 87, 87 и 212 см^{-1} для Dy^{3+} . В области $\sim 200 \text{ К}$ обнаружена аномалия C_p I—IV неизвестной природы. Интерполированием т-рной зависимости эффективной т-ры Дебая в области аномалии получены кривые регулярного хода C_p и рассчитаны изменения энтропии и энталпии, отвечающие аномалиям, к-рые составили 0,310 Дж/моль·К и

50,9 Дж/моль, 0,138 и 27,4; 0,166 и 32,6; 0,212 и 37,5 для I—IV соответственно.

П. М. Чукров

1981

 $K[Y(HCOO)_4 \cdot H_2O]$ $K_5[Y(HCOO)_8]$

З Б1249. Новые соединения в системе $KHCOO-Y(HCOO)_3-H_2O$. Иткина Л. С., Петрова Е. В., Аицышкина А. С. «Ж. неорган. химии», 1981, 26, № 11, 3112—3117

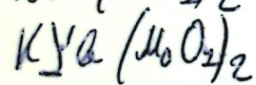
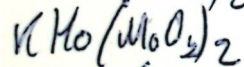
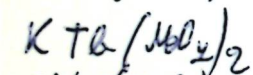
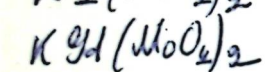
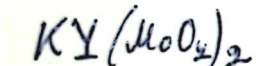
Изотермическим методом исследована р-римость в системе $KHCOO-Y(HCOO)_3-H_2O$ при $50^\circ C$. Установлено образование инконгруэнтно р-римого соединения $K[Y(HCOO)_4 \cdot H_2O]$ и конгруэнтно р-римого соединения $K_5[Y(HCOO)_8]$. Установлены т. пл. этих соединений и т-ра дегидратации $K[Y(HCOO)_4 \times H_2O]$. Определены показатели преломления, получены дифрактограммы, установлены структуры выделенных соединений. Изотерма р-римости системы $KHCOO-Y(HCOO)_3-H_2O$

при $50^\circ C$ состоит из четырех ветвей: $Y(HCOO)_3 \cdot 2H_2O$, $K[Y(HCOO)_4 \times H_2O]$, $K_5[Y(HCOO)_8]$ и $KHCOO$. Резюме



X. 1982, 19, N3.

Frolova G.I. et al. | 1982



5XT, N25, №. 342

(
Cp
6 - 300K)

K_2YF_5

1983

5 Б2027. Кристаллическая структура иттрофторида калия K_2YF_5 . Харитонов Ю. А., Горбунов Ю. А., Максимов Б. А. «Кристаллография», 1983, 28, № 5, 1031—1032

Проведено рентгеноструктурное исследование K_2YF_5 (λ Mo, 1280 отражений, $R = 0,064$). Кристаллы ромбич., $a = 10,791$, $b = 6,607$, $c = 7,263$ Å, $Z = 4$, ф. гр. $Pna2_1$. Структура представляет собой псевдогексагональную укладку бесконечных в направлении [001] радикалов $[YF_5]_{\infty}^{2-}$, построенных из $[YF_5]^{4-}$ -полиэдров, что хорошо согласуется с волокнистым характером и призматич. габитусом кристаллов K_2YF_6 .

И. Л. Ф.

Кристаллы.
Структура

ж. 1984, 19, N 5

KY(MoO₄)₂

рcc, 1458

1983

22 Б857. Теплоемкость, энтропия и разность энталпий KY(MoO₄)₂ в интервале 8—312 К. Фролова Г. И., Козеева Л. П., Пауков И. Е. «Ж. физ. химии», 1983, 57, № 7, 1802—1803

Теплоемкость KY(MoO₄)₂ измерена в вакуумном адиабатич. калориметре. Значения термодинамич. функций табулированы с шагом 5 К (10—50 К) и 10 К (50—310 К). Станд. значения составили C_p° (298,15 К) = $=232,1 \pm 0,3$ Дж/(моль·К); S° (298,15 К) = $271,9 \pm 0,4$ Дж/(моль·К); H° (298,15 К) — H° (0 К) = $41\ 710 \pm 50$ Дж/моль. Аномалий на кривой теплоемкости не обнаружено. Проведено сравнение с теплоемкостью изоструктурного соединения KLu(MoO₄)₂. Автореферат

G, S;

X. 1983, 19, N 22

$KY(MoO_4)_2$ дес. 1458

1983

11 E254. Теплоемкость, энтропия и разность энтальпий $KY(MoO_4)_2$ в интервале 8—312 К. Фролова Г. И., Козеева Л. П., Пауков И. Е. «Ж. физ. химии», 1983, 57, № 7, 1802—1803

В вакуумном адиабатич. калориметре измерена теплоемкость $KY(MoO_4)_2$ в интервале 8—312 К. Рассчитаны значения энтропии и энтальпии при стандартных условиях.

Резюме

Г, 3298;

ср. 1983, 18, N//

KY(MoO₄)₂ Oct. 17/58

1983

99: 147103p Heat capacity, entropy, and enthalpy changes of potassium yttrium molybdate in the 8-312 K range. Frolova, G. I.; Kozeeva, L. P.; Paukov, I. E. (Inst. Neorg. Khim., Novosibirsk, USSR). *Zh. Fiz. Khim.* 1983, 57(7), 1802-3 (Russ). A vacuum adiabatic calorimeter was used to measure the heat capacity of KY(MoO₄)₂ [13862-43-6]. The std. entropy and enthalpy values were derived.

C, H_T-H, f°;

c.A.1983, 99, N 18

$K[Y(HCOO)_4 H_2O]$ (On. 22289) 1985

$K_5[Y(HCOO)_8]$

Portnova S. M., Petrova E. V.
et al.,

Tm, skm; Thermochim. acta, 1985,
92, 505-508.

KY(PO₃)₄

1990

114: 130260t The system potassium phosphate-yttrium phosphate.
Czupinska, G.; Znamierowska, T. (Fac. Eng. Econ., Acad. Econ., 53345 Wroclaw, Pol.). *J. Therm. Anal.* 1990, 36(2), 639-43 (Eng).
The previously unknown binary system KPO₂-Y(PO₃)₃ was examd. by thermal, x-ray and microscopic anal. and its phase diagram provided. The existence of the compd. KY(PO₃)₄ was confirmed. Its m.p. (700°, incongruent) and basic parameters of the unit cell (monoclinic system, space group $P2_1/n$, lattice parameters: a 7.36, b 8.36, c 14.39 Å, $\beta = 96.1^\circ$) were detd. The new, so far unknown, compd. was discovered and assigned the formula K₂Y(PO₃)₅. It forms peritectically (in the solid phase) at 642°.

T_m, cmyk

Mgpa

C.A. 1991, 114, N14

$KPO_3 - Y(PO_3)_3$

1990

5 Б3096. Система $KPO_3 - Y(PO_3)_3$. The system $KPO_3 - Y(PO_3)_3$ / Czupińska G., Znamierowska T. // J. Therm. Anal.— 1990.— 36, № 2.— С. 639—643.— Англ.; рез. нем.

Методами ДТА, рентгенографии, отражат. микроскопии и ИК-спектроскопии изучены фазовые соотношения в системе KPO_3 (I) — $Y(PO_3)_3$ (II). Представлена фазовая диаграмма системы, в к-рой образуются два соединения: I-II и 2I-II. I-II плавится конгруэнтно с образованием II и жидкости при 700°C . 2I-II образуется по перитектоидной р-ции при 642°C . Эвтектика соответствует 45% II и т. пл. 648°C . I-II — монокл.; $a = 7,36$; $b = 8,36$; $c = 14,39$ Å; $\beta = 96,1^{\circ}$. Образцы в системе I-II гигроскопичны и склонны к стеклованию.

Л. Г. Титов

X. 1991, N5

KY₃F₁₀

1990

11 Б2025. Анионная разупорядоченность в структуре диэлектрических материалов / Ташматов А. Д. // Тез. докл. 2 Всес. конф. «Пробл. физ. прочи. и пластич. полимеров», 10—12 окт., 1990.— Душанбе, 1990.— С. 157.— Рус.

Методом ЯМР электропроводности исследована подвижность ионов фтора в монокристалле KY₃F₁₀ с примесью Gd³⁺ ($c=0,007; 0,025; 0,1\%$), позволившая получить информацию о микроскопич. особенностях диффузионного движения ионов фтора в структуре KY₃F₁₀. Установлены детали миграц. движения ионов фтора в крист. решетке KY₃F₁₀. Обнаружена динамич. неэквивалентность ионов фтора, принадлежащих двум различным мотивам, проявившаяся в параметрах ЯМР электропроводности. Установлено, что быстрое движение совершают ионы фтора, принадлежащие частично разрушенным мотивам [KY₃F₁₂]²⁻, а медленное движение

X. 1991, N 11

ние соответствует перескоками ионов между различными структурными мотивами. Найдены скорость прыжков и энталпия активации движения. Предположено, что ионное движение к KY_5F_{10} осуществляется преимущественно по вакансационному механизму. Показано, что в области высоких т-р скорость спин-решеточный релаксации определяется взаимодействием ядерных спинов ^{19}F с парамагн. примесями и в крист. системах с высокой ионной подвижностью большое значение имеет ядерная релаксация с участием парамагнитных примесных ионов. Электропроводность KY_3F_{12} оказалась $\sigma_{900}=5\cdot10^{-2}\text{ Ом}^{-1}\cdot\text{см}^{-1}$ при высоких т-рах. Из резюме



$K_4 Y_2 P_4 O_{15}$

1991

115: 167590x Phase equilibria in the system yttrium phosphate (YPO_4)-potassium pyrophosphate ($K_4P_2O_7$). Czupinska, G.; Znamierowska, T. (Fac. Eng., Econ., Acad. Econ., 53345 Wroclaw, Pol.). *Mater. Chem. Phys.* 1991, 27(2), 217-22 (Eng). The phase diagram of the system YPO_4 - $K_4P_2O_7$ was detd. by DTA, x-ray, microscopy in reflected light and IR-absorption. The system contains one intermediate compd. which is formed at the 2:1 molar ratio YPO_4 : $K_4P_2O_7$, i.e., $K_4Y_2P_4O_{15}$. This phosphate melts incongruently at 920°C and has an orthorhombic unit cell with parameters: a 14.08, b 19.28, c 14.02 Å, $\alpha = \beta - \gamma = 90^\circ$, $V = 3801 \text{ \AA}^3$.

(TII)

C.A. 1991, 115, n16

KCl-YCl₃

1992

Qiao Zhijun,
Zhuang Weidong,
et al.
4 mepiwog.
cb-ba

Sci. China Ser. A

1992, 35(8), 957-64.

(Ccl. LiCl-YCl₃; ?)

KYF₄

1992

4 Б2034. Структура KYF₄. Structure of KYF₄ /Le Fur Y., Khaidukov N. M., Aléonard S. //Acta crystallogr. C.—1992.—48, № 6.—С. 978—982.—Англ.

Проведен РСТА (λ Ag, 3045 независимых отражений, R 0,038) соед. KYF₄. Параметры гексагон. решетки: а 14,060, с 10,103 Å, V 1729, Z 18, р (выч.) 3,49, ф. гр. P3₁. Структура флюоритоподобна, но хотя катионная подструктура близка флюоритовой, смещение возникает из-за образования полиздротов KF₈ (искаженный куб K—4F 2,6Å; 2,9Å) и YF₇ (одношапочная тригон. призма, сильно искаженная, Y—F 2,127—2,288 Å) и пентагон. дипирамида (Y—F 2,175—2,279 Å). Тригон. призма с шапкой м. б. также представлена в виде пентагон. бипирамиды. В обоих типах полиздротов Y—F (~ 2,17 Å) более коротки, чем Y—Бэкват. (~ 2,25 Å). Полиздры YF₇, соединяясь ребром, образуют пары, а затем пары, сочленяясь вершинами, — цепочки вдоль [210], [110], [120] на уровнях 0, 1/3, 2/3. Атомы K, размешаясь между цепочками, образуют в свою очередь цепи из KF₈.

Н. Л. Смирнова

Структура

X. 1993, NY

KY_{0,95}Er_{0,05}F₄

1992

18 Б2041. Структура KY_{0,95}Er_{0,05}F₄. Structure of KY_{0,95}Er_{0,05}F₄ /Le Fur Y., Khaidukov N. M., Aleonard S. //Acta crystallogr. C .—1992 .—48 , № 11 .—С. 2062—2064 .—Англ.

Проведен РСТА (293 К, λ Ag, 6834 отражения, R 0,032) розовых кристаллов KY_{0,95}Er_{0,05}F₄ (I), синтезир. гидротермальным методом при 650—750 К, давл. 100—150 MPa, градиент ЗК в течение 400—500 ч. из смеси Y₂O₃/Er₂O₃ (0,95/0,05) в водном р-ре KF (0,26—0,32 мол.). Для анализа отобран кристалл высокого оптич. кач-ва. Параметры треугольной решетки: a 14,075, c 10,115, V 1735,2 Å³, Z 18, ρ (выч.) 3,067, ф. гр. P3₁. Структура I изотипна KYF₄ и представляет собой сверхструктуру к флюориту. Пентагональные бипирамиды LnF₇, попарно соединяясь по общему ребру, образуют группы Ln₂F₁₂, к-рые образуют цепи в трех катионных слоях перпендикулярно оси c. Одна из пирамид занята Y(Y—F 2,128—2,302 Å), др. содержит дополнительно Er (2,178—2,312 Å) и не имеет F в направлении оси Z. Атомы K находятся в центрах искаженных кубов (K—F ~ 2,59—2,9 Å).

Н. Л. Смирнова

Структура

X, 1993, N 18

$K_3Y(PO_4)_2$

1993

119: 81239k The system yttrium phosphate (YPO_4)-potassium phosphate (K_3PO_4). Czupinska, G.; Znamierowska, T. (Fac. Eng. Econ., Acad. Econ., 53345 Wroclaw, Pol.). *J. Therm. Anal.*, 1993, 39(5), 539-44 (Eng). The phase diagram of the system YPO_4 - K_3PO_4 was detd. by differential thermal, x-ray, microscopic and IR absorption methods. The system contains one intermediate compd., $K_3Y(PO_4)_2$, which melts incongruently at 1460°. This compd. exhibits a polymorphic transition at 490°.

(Tm)

C.A. 1993, 119, N8

3Kg. YI₃

1993

119: 16047g Interactions of yttrium triiodide with sodium, potassium, or rubidium iodides. Kiriaku, E. A.; Dudareva, A. G.; Ezhov, A. I. (Ross. Univ. Druzhby Nar., Moscow, Russia). *Zh. Neorg. Khim.* 1993, 38(1), 186-8 (Russ). Physicochem. methods were used to study the YI₃ binary systems with an alkali metal iodide. The system YI₃-NaI is of eutectic type; the compd. 7NaI·3YI₃ is formed and decompns. in the solid phase at 410°. The interactions of YI₃ with KI or RbI lead to formation of 3KI·YI₃ and 3RbI·YI₃ which melt congruently at 650 and 630°, resp. In the system YI₃-RbI, YI₃·RbI is also formed and decompns. in the solid phase at 360°.

Ⓐ *3RbI*, *YI₃ (Tm)*

C.A. 1993, 119, N2

$KY(WO_4)_2$ 2000

Voron'ko Yu. K. et al;

Panzer
checkup,
 Fe_2 Inorg. Mater 2000,
36(9), 947-953

(all. Na \bullet $La(WO_4)_2$?)